

# I-38 地下構造物の設計法に関する研究(II).

早稲田大学

正員

村上 博 增

## Ⅰ 緒言.

地下構造物は特に基礎と接する部分で、その底版自身が構造物を支えていく様な場合が普通である。筆者はこの構造物の解説について、その底版が弾性支持板とするとして、既に「弾性支持板を含むラーメンの一解法」と題して報告(1)した。今回答表(2)では、今度底盤と基礎との接合部を整理し、使用し易い様に書き換へ、最後に條件式の機械的作表について述べる。

## Ⅱ 弾性支承板の使用 機械的作表式

図-I の様な場合(1)式の如く示す。

$$\begin{aligned} M_{ij} &= R(m\theta_i + n\theta_j + \lambda_p R_i - \lambda_q R_j) - C_{ij} \\ M_{ji} &= R(n\theta_i + m\theta_j + \lambda_q R_i - \lambda_p R_j) + C_{ji} \\ S_{ij} &= \frac{R}{L} (\lambda_p \theta_i + \lambda_q \theta_j + \lambda^2 R_i - \lambda^2 R_j) - Q_{ij} \\ S_{ji} &= \frac{R}{L} (\lambda_q \theta_i + \lambda_p \theta_j + \lambda^2 R_i - \lambda^2 R_j) + Q_{ji} \end{aligned} \quad \cdots (1)$$

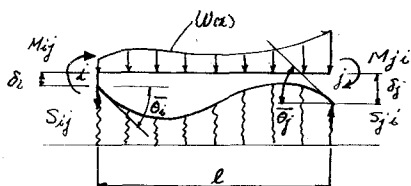


Fig-1.

$$\text{但し } R: \text{剛性比}, \quad \lambda = \frac{\delta}{L}: \text{材質比}, \quad L: \text{標準部材長}, \quad \theta = 2EK\bar{\theta}, \quad R = 2EK\bar{R}, \quad \bar{R} = \frac{\delta}{L}$$

K: 標準部材剛性.

尚(1)式中  $M, n, p, f, K, S$ , は次式で示す  $\beta$  の函数である  $\beta = 0.1 \sim 10.0$  に対する之等の数値の値は近く早稲田大学理工系研究室報第20編 1-2巻表の充てにてある。之等は早稲田大学土木工算室の LGP-30 上計算を行つた。

$$f = L \sqrt{\frac{C}{EI}} \quad \cdots (2) \quad \text{但し } C: \text{地盤反力係数}.$$

## Ⅲ 條件式の機械的作表.

### 1) 部分方程式.

地下鉄等の標準的な形にについて 図-2 の如きを用いて述べる。

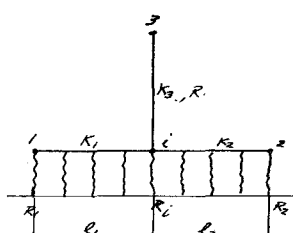


Fig-2.

$$M_{i1} + M_{i2} + M_{i3} = 0 \quad \text{左}''$$

$$\left\{ \frac{m_1 R_1 \theta_1}{\text{左左}} + \frac{(m_1 R_1 + m_2 R_2 + 2R_3) \theta_2}{\text{左右}} + \frac{m_2 R_2 \theta_2}{\text{右左}} + \frac{R_3 \theta_3}{\text{上}} \right\}$$

$$\left\{ \frac{\lambda_1 g_1 R_1}{\text{左左}} + \frac{(\lambda_2 g_2 R_2 - \lambda_3 g_3 R_3) R_3}{\text{右左}} - \frac{\lambda_2 g_2 R_2}{\text{右右}} - \frac{3R_3 R}{\text{上}} \right\} = C_{i2} + C_{i3} - C_{i1}. \quad \cdots (3)$$

## ii) 動力方程式

図-3の柱 i-3-6-… の軸力・剪断力

考へられる。

$$S_{i2} - S_{i1} = (S_{34} + S_{67} + \dots) + (S_{35} + S_{68} + \dots) \\ - (N_i + N_j + \dots) + (\sigma S_{34} + \sigma S_{67} + \dots) \\ + (\sigma S_{35} + \sigma S_{68} + \dots) = 0. \quad \dots (4)$$

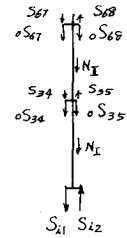
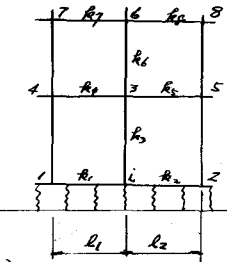


Fig-3.

$$\left. \begin{aligned} S_{i1} &= \frac{R_i}{L} (\lambda_1 \theta_1 + \lambda_1 p_1 \theta_i + \lambda_1^2 s_1 R_1 - \lambda_1^2 r_1 R_i) + Q_{i1} \\ S_{i2} &= \frac{R_2}{L} (\lambda_2 \theta_2 + \lambda_2 p_2 \theta_i + \lambda_2^2 r_2 R_2 - \lambda_2^2 s_2 R_i) - Q_{i2} \\ S_{34} &= \frac{\lambda_1}{L} (M_{34} + M_{43}) , \quad S_{35} = \frac{\lambda_2}{L} (M_{35} + M_{53}) \\ M_{34} &= R_4 (2\theta_3 + \theta_4 - 3\lambda_1 R_i + 3\lambda_1 R_1) + C_{34} \\ M_{35} &= R_4 (2\theta_4 + \theta_5 - 3\lambda_1 R_i + 3\lambda_1 R_1) - C_{35} \\ \end{aligned} \right\} \quad \dots (5)$$

但し  $\sigma S$  : Simple beam  $\varepsilon$  による Shear  
 $S$  : 不静定剪断力

(5)式を(4)式に代入して整理する。

$$\left. \begin{aligned} & \left\{ -\lambda_1 q_1 R_1 \theta_1 + (\lambda_1 p_2 R_2 - \lambda_1 p_1 R_1) \theta_i + \lambda_2 q_2 R_2 \theta_2 \right\} \\ & + \left\{ -3\lambda_1 R_4 \theta_4 + (\lambda_2 - 3R_5 - \lambda_1 3R_4) \theta_3 + \lambda_2 \cdot 3 R_5 \theta_5 \right\} + \dots \\ & - (\lambda_1^2 s_1 R_1 + \lambda_1^2 \cdot 6 R_4 + \dots) R_1 \\ & + (\lambda_1^2 r_1 R_1 + \lambda_2^2 r_2 R_2 + \lambda_2^2 \cdot 6 R_4 + \dots + \lambda_2^2 \cdot 6 R_5 + \dots) R_i \\ & - (\lambda_2^2 s_2 R_2 + \lambda_2^2 \cdot 6 R_5 + \dots) R_2 = \{ \Sigma N + \Sigma S + Q_{i1} + Q_{i2} \} \times L + (C_{34} - C_{43}) \lambda_1 + \dots \\ & + (C_{35} - C_{53}) \lambda_2 + \dots \end{aligned} \right\} \quad \dots (6)$$

## IV 結論

以上 大要正解したのみであるので 詳細に至つての問題及ぶ 実際の構造物に対する計算方法 及びその結果の計算法による結果との比較等については 当日述べる予定である。

- (1) 深生支承課を有するラーメンの一層家宅。 第1回 軸力・剪断力・構造力学 第25.7.
- (2) 地下構造物の設計法に関する研究会。 土木学会年次講演会 第36.5.